

УДК 552.16

ГИПЕРСТЕНОВЫЕ РОГОВИКИ КАНДЫГАТАЙСКОГО КОМПЛЕКСА (ВОСТОЧНЫЙ КАЗАХСТАН)

© 2004 г. В. П. Сухоруков, А. В. Плотников

Представлено академиком В.В. Ревердатто 19.03.2004 г.

Поступило 01.04.2004 г.

Кандыгатайский метаморфический блок расположен в пределах Жарминской сдвиговой зоны, разделяющей структуры герцинид Зайсанской и каледонид Чингиз-Тарбагатайской складчатых систем. Метапелиты кандыгатайского комплекса уже рассматривались в литературе [1, 2]. На основании находки в породах комплекса минеральных ассоциаций гиперстена с силлиманитом, корунда с гранатом и гиперстена с клинопироксеном он был отнесен к гранулитам повышенных давлений ($T = 950\text{--}1000^\circ\text{C}$, $P = 10\text{--}12$ кбар [1]) и представлен в качестве уникального для региона выхода древнего сиалического фундамента [2]. В настоящем сообщении приведены новые петрологические данные, позволяющие отнести этот комплекс к образованим высоких температур – низких давлений и предложить двухстадийную историю его формирования.

Кандыгатайский блок высокотемпературных метапелитов расположен в юго-западном эндоконтакте одноименного массива сиенитов и лейкократовых субщелочных гранитов ($P_1 - T$) и имеет размеры 200×4000 м (рис. 1). Граница с сиенитами носит интрузивный характер, в породах кандыгатайского метаморфического комплекса наблюдаются апофизы сиенитов мощностью до нескольких сантиметров. Контакт с ороговикованными вмещающими породами коконьской свиты (C_1) тектонический.

Образования кандыгатайского метаморфического комплекса представляют собой массивные мелкозернистые породы с роговиковой структурой (размер зерен в основной ткани порядка 0.01–0.1 мм). Породы характеризуются отчетливой грубой и мелкой слоистостью (мощность слоев от первых миллиметров до десятков сантиметров) часто с тонким чередованием кордиерит-шпинелевых прослоев с прослойками, содержащими клинопироксен и роговую обманку.

По минеральному составу метапелиты комплекса представлены кордиерит-шпинель-силли-

манит-андалузитовыми с корундом, кордиерит-шпинель-гиперстен-корундовыми и кордиерит-гранатовыми породами. Помимо перечисленных минералов, во всех метапелитовых ассоциациях присутствуют калишпат, биотит, плагиоклаз, кварц и ильменит. Клинопироксен-рогообманковые прослои содержат биотит, плагиоклаз, калиевый полевой шпат, кварц, ильменит.

В метапелитах комплекса нами зафиксирован ряд минеральных взаимоотношений, позволяющих предположить протекание в породах метаморфических реакций. 1. Образование кордиерит-шпинелевых симплектитов вокруг зерен андалузита; в таких срастаниях андалузит представлен резорбированными зернами, окруженными широкой каймой кордиерита с включениями зеленой шпинели. 2. Образование гиперстеновых кайм вокруг чешуй биотита, вплоть до полного обрастаия. 3. Замещение андалузита силлиманитом. В таких структурах силлиманит представлен длиннопризматическими кристаллами, имеющими субпараллельную ориентировку, а андалузит – мелкими неогранеными зернами, расположеннымными вокруг силлиманита. Однаковая оптическая ориентировка зерен андалузита в таких срастаниях свидетельствует о том, что это остатки отдельных монокристаллов. 4. Срастания граната с биотитом и кварцем, такие срастания характеризуются формированием мощной кварцевой каймы, часто с биотитом, вокруг кристаллов граната. Гранат-кварцевые срастания приурочены, как правило, к более лейкократовым и крупнозернистым участкам пород.

Эти наблюдения позволили нам, основываясь на экспериментальных и расчетных данных, оценить PT -условия формирования пород кандыгатайского комплекса. Характерной особенностью метапелитов комплекса является практически повсеместная распространенность в них андалузита в ассоциации с калишпатом. Эта ассоциация устойчива при давлении ниже 2.5 кбар [3, 4]. Свидетельством низких давлений (в области контактового метаморфизма) является также высокая железистость кордиерита (58%) в ассоциации с биотитом и шпинелью, что является характер-

Объединенный институт геологии, геофизики и минералогии
Сибирского отделения Российской Академии наук,
Новосибирск

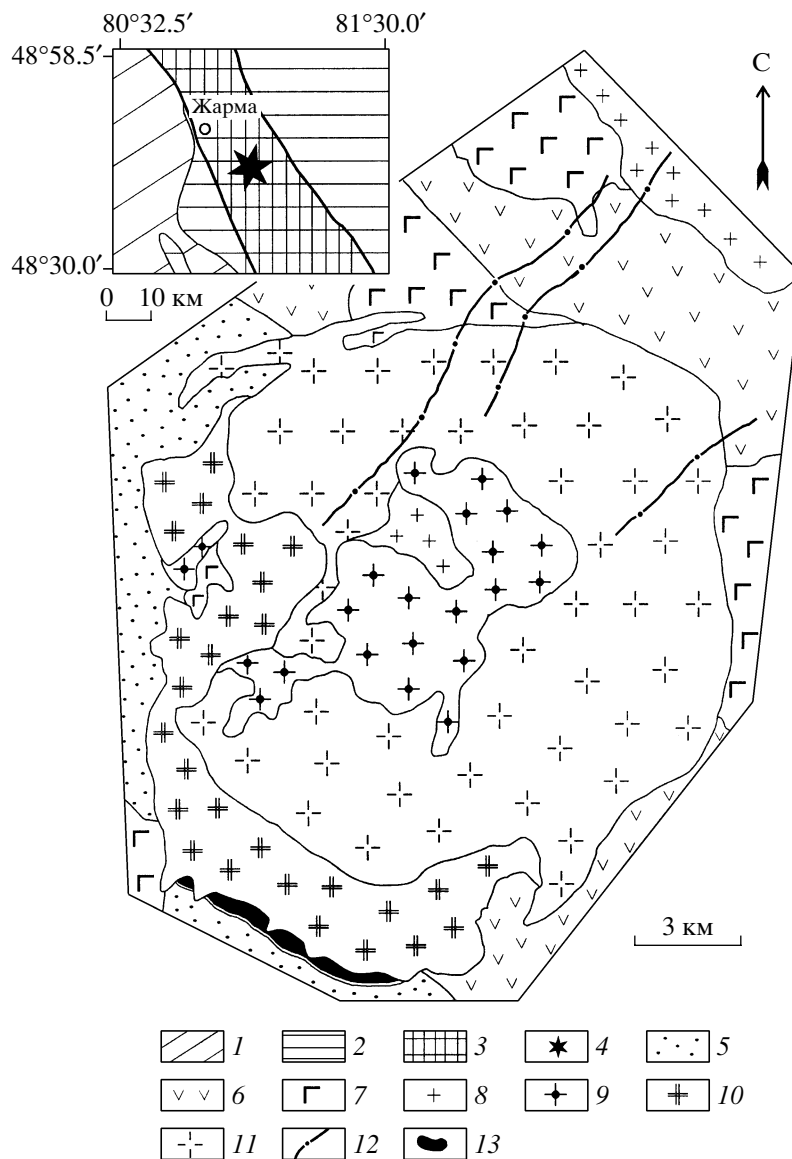


Рис. 1. Геологическая схема Кандыгатайского массива и его обрамления с указанием положения высокотемпературных метаморфических пород. Составлена с использованием материалов [11]. 1 – каледонский структурный комплекс; 2 – герцинский структурный комплекс; 3 – область перехода от каледонид к герценидам Восточного Казахстана, где сосредоточены основные сдвиговые дислокации; 4 – Кандыгатайский блок метаморфических пород; 5, 6 – отложения нижнего карбона (C_1), ороговикованые в условиях амфибол- и мусковит-роговиковой фаций: 5 – терригенные отложения, 6 – вулканогенные отложения; 7 – саурская габбро-диорит-тоналитовая серия (C_1); 8, 9 – жарминская габброгранитовая серия (P_1): 8 – граниты, 9 – порфировидные граниты; 10–12 – кандыгатайский комплекс сиенитов и лейкократовых субщелочных гранитов (P_2 – T): 10 – биотит-гастингситовые сиениты и граносиениты, 11 – биотит-гастингситовые гранитоиды, 12 – послегранитовые дайки граносиенит-порфиров; 13 – Кандыгатайский блок высокотемпературных метапелитов.

ным для высокотемпературных роговиков умеренной железистости [5]. Широкое развитие в породах кандыгатайского метаморфического комплекса таких минеральных ассоциаций, как And + Kfs, Crd + Kfs, Crn + Kfs, Hy + Kfs¹, указывает на

¹ Здесь и далее принятые следующие сокращения минералов: And – андалузит, Bt – биотит, Crd – кордиерит, Crn – корунд, Grt – гранат, Hy – гиперстен, Kfs – калишпат, Pl – плагиоклаз, Qtz – кварц, Sil – силлиманит, Spl – шпинель.

высокие температуры (не менее 650°C при 2 кбар (рис. 2)) и считается характерным для пироксен-роговиковой фации метаморфизма [6]. Парагенезис Crd + Hy + Kfs устойчив лишь в наиболее высокотемпературной ступени пироксен-роговиковой фации, при температурах не менее 780°C [7].

Наблюдаемые взаимоотношения минералов в метапелитах комплекса позволяют предполо-

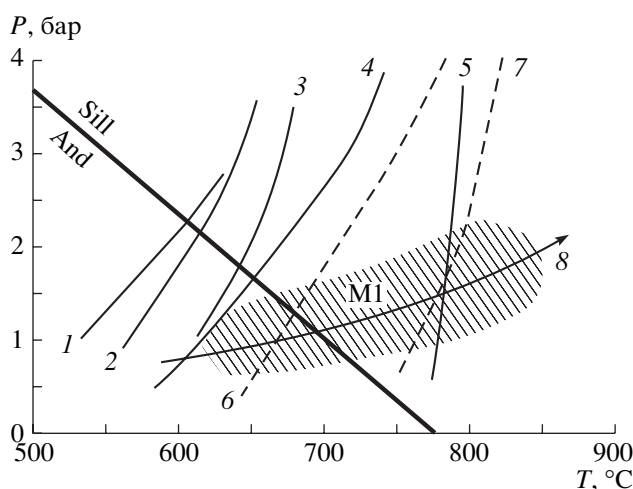


Рис. 2. PT -условия метаморфизма пород кандыгатайского метаморфического комплекса. Сплошными линиями показаны главные моновариантные равновесия по литературным данным, штриховыми — линии равновесий, рассчитанные для реальных составов минералов с использованием программы Thermocalc [9, 10]. Линия And–Sil по [4]. 1 — $\text{Bt} + \text{Ms} + \text{Qtz} = \text{Crd} + \text{Kfs} + \text{H}_2\text{O}$ [12], 2 — $\text{Ms} + \text{Qtz} = \text{And} + \text{Kfs} + \text{H}_2\text{O}$ [3], 3 — $\text{Ms} = \text{Crn} + \text{Kfs} + \text{H}_2\text{O}$ [13], 4 — $\text{Bt} + \text{Qtz} = \text{Hy} + \text{Kfs} + \text{H}_2\text{O}$ [12], 5 — $\text{Bt} + \text{Grt} + \text{Qtz} = \text{Crd} + \text{Hy} + \text{Kfs}$ [7], 6 — $\text{And} + \text{Bt} = \text{Crd} + \text{Spl} + \text{Kfs}$, 7 — $\text{Bt} + \text{Qtz} = \text{Hy} + \text{Kfs} + \text{H}_2\text{O}$, 8 — вероятная геотерма, обусловившая метаморфизм первого этапа.

жить протекание реакций: $\text{And} + \text{Bt} \rightarrow \text{Crd} + \text{Spl} + \text{Kfs}$, $\text{Bt} + \text{Qtz} \rightarrow \text{Hy} + \text{Kfs} + \text{H}_2\text{O}$, $\text{And} \rightarrow \text{Sil}$.

Линии соответствующих равновесий, построенные на основании реальных составов минералов (табл. 1), приведены на рис. 2. Линия условно моновариантного равновесия андалузита и биотита с железистостью 64% (Bt_1) с образованием кордиерит-шпинелевых симплектитов (обр. 98-23/44) проходит через точки 670°C при 1 кбар и 750°C при 3 кбар и имеет положительный наклон в PT -координатах. Эта реакция в сочетании с реакцией замещения андалузита силлиманитом (линия с отрицательным наклоном) может осуществляться только на стадии повышения температуры при постоянном давлении [7]. Линия равновесия биотита с кварцем с образованием гиперстена и калишпата, рассчитанная по реальным составам минералов (обр. 99-53/1), проходит через точки 760°C при 1 кбар и 810°C при 3 кбар.

Положение граната в лейкократовых более крупнозернистых обособлениях в породе, отдельно от корунд- и кордиеритсодержащих прослоев, позволяет предположить формирование граната не в парагенезисе с другими минералами метапелитов. Наличие кварцевой каймы, часто с биотитом (Bt_2), указывает на формирование таких агрегатов в более низкотемпературной области, чем ассоциация $\text{Crd} + \text{Hy} + \text{Kfs}$ (меньше 780°C) [7]; температура, рассчитанная с помощью гранат-

биотитового термометра [8], составляет 560°C при 2 кбар. Основываясь на этих данных, можно предположить, что формирование граната могло быть связано с более поздним низкотемпературным метаморфизмом. Причиной повторного прогрева, возможно, могли быть сиениты кандыгатайского массива, под воздействием которых вмещающие породы коконьской свиты метаморфизованы в условиях мусковит- и амфибол-роговиковой фации [2], а в метапелитах кандыгатайского комплекса воздействие сиенитов проявляется в виде многочисленных прожилков. Вероятно, с этим же этапом связано широкое развитие крупных, ограниченных зерен андалузита (And_2), часто окружающих кварц в корундсодержащих метапелитах. Основываясь на этих данных, можно предположить, что ассоциация граната с корундом, описанная А.П. Пономаревой [2], является неравновесной и не может служить доказательством повышенного давления при формировании пород. Такой же вывод можно сделать относительно ассоциаций гиперстена с силлиманитом и гиперстена с клинопироксеном, минералы которых присутствуют в породах комплекса, но встречаются в разных ассоциациях и никогда не образуют срастаний между собой. Существование в пределах одного шлифа прослоев резко контрастного состава, по мнению авторов, также указывает на то, что породы комплекса не претерпевали глубокого метаморфизма, а контрастные прослои являются унаследованными от первичной осадочной слоистости пород. Участие андалузита в качестве исходного вещества в реакции, идущей на прогрессивной стадии, указывает на то, что параметры метаморфизма пород комплекса изначально отвечали области устойчивости андалузита в PT -координатах, т.е. породы кандыгатайского метаморфического комплекса никогда не были метаморфизованы в условиях повышенных давлений.

Для оценки максимальных температур и давлений формирования пород кандыгатайского комплекса были произведены расчеты с помощью программы Thermocalc V.3.1 с использованием соответствующих баз данных [9, 10]. Для расчетов использовалась наиболее высокотемпературная минеральная ассоциация метапелитов $\text{Crd} + \text{Hy} + \text{Bt}_1 + \text{Kfs} + \text{Qtz}$, составы минералов приведены в табл. 1. При расчетах были получены значения $T = 810 \pm 84^\circ\text{C}$, $P = 1.6 \pm 1.5$ кбар, что вполне согласуется с данными об устойчивости ассоциации $\text{Crd} + \text{Hy} + \text{Kfs}$ [7].

Основные выводы. Породы кандыгатайского метаморфического блока были сформированы в условиях высоких температур и низких давлений, в PT -области контактового метаморфизма. История формирования этих пород связана с двухэтапной эволюцией. Первый этап — метаморфизм высоких температур — низких давлений (максимальные параметры около 800°C и 2 кбар), ха-

Таблица 1. Химические составы минералов метапелитов кандыгатайского комплекса

Компо-нент	99-53/1					98-23/44					Компо-нент	Шпи-нель	Гранат	98-23/44
	Кор-диерит	Гиперстен	Биотит	Плагио-клав	Калишпат	Кордиес-рит	Биотит	Плагио-клав	Калиш-пат	Ильме-нит				
SiO ₂	47.60	47.61	47.74	34.91	35.02	65.37	64.16	64.04	47.38	35.28	58.03	64.53	—	SiO ₂
TiO ₂	0.00	0.32	0.25	5.21	1.17	—	0.00	0.00	3.78	—	0.00	53.34	TiO ₂	
Al ₂ O ₃	32.47	5.1	3.91	16.75	18.81	22.96	18.40	0.20	0.06	12.69	21.38	0.04	45.74	Al ₂ O ₃
FeO	8.33	32.64	32.64	19.98	19.47	0.07	—	—	0.00	4.78	6.73	—	0.02	FeO
MgO	8.13	13.27	13.79	9.11	11.26	—	—	0.00	0.62	0.25	—	0.00	0.87	MgO
MnO	0.67	1.75	2.04	0.28	0.25	—	—	0.00	0.00	0.03	7.71	0.05	—	MnO
CaO	0.00	—	0.07	0.09	0.20	2.98	0.12	0.15	0.00	0.03	7.35	1.47	—	CaO
Na ₂ O	0.37	0.00	0.09	0.20	0.88	1.35	2.35	0.30	0.20	0.20	14.08	—	—	Na ₂ O
K ₂ O	0.06	0.06	0.00	9.88	9.79	0.27	14.48	13.39	0.00	9.66	0.20	—	—	K ₂ O
Сумма	97.66	100.88	100.54	96.21	95.97	100.57	98.73	98.95	97.83	95.82	99.08	98.88	100.17	ZnO
Si	4.964	1.856	1.869	5.487	5.368	2.852	2.989	5.045	5.610	2.621	2.991	—	—	Сумма
Ti	—	0.009	0.007	0.616	0.135	—	—	—	0.452	—	—	1.009	—	Si
Al(IV)	1.036	0.144	0.131	2.513	2.632	1.180	1.010	1.033	0.955	2.390	1.369	1.021	—	Ti
Al(VI)	2.952	0.091	0.049	0.587	0.763	—	—	—	3.056	1.076	—	—	—	Al(IV)
Fe ²⁺	0.726	1.065	1.068	2.626	2.496	0.003	0.008	0.002	1.130	2.843	0.002	0.001	0.962	Al(VI)
Mg	1.264	0.771	0.805	2.135	2.573	—	—	—	0.759	1.595	—	—	0.001	Fe ²⁺
Mn	0.059	0.058	0.068	0.037	0.032	—	—	—	0.056	0.034	—	—	0.019	Mg
Ca	—	0.007	0.003	—	—	0.139	0.006	0.007	—	0.005	0.373	0.002	—	Mn
Na	0.075	—	—	0.027	0.059	0.751	0.122	0.211	0.062	0.644	0.132	—	—	Ca
K	0.008	—	—	1.981	1.914	0.015	0.861	0.792	—	1.960	0.012	0.833	—	Na
Минералы														
An						15.4					36.2			K
Ab						83.0	12.3	20.9		62.6	13.7			Zn
Or						1.7	87.1	78.4		1.2	86.1			Миналы
F						0.57	0.55	0.49		0.60	0.64			
												1.00		Alm
													Spss	
													Grs	
													F	

Примечания. Минеральная ассоциация в образце 99-53/1: Crd + Hn + Sp1 + Ilm + Bt + Pl + Kfs + Qtz. 2 – центр зерна гиперстена, 3 – край зерна гиперстена, 4 – биотит в составе кордиеритовых симплектиков, 5 – реликтовый биотит (замещаемый гиперстеном). Минеральная ассоциация в образце 98-23/44: Crd + Grt + Sp1 + Crn + And1 + Fib + Bt + Rtm + Ilm + Pt + Pl + Kfs + Qtz. 15 – центр зерна граната, 16 – край зерна.

рактеризующийся развитием ассоциаций метапелитов Crd + + Spl + Sil + Crn + Kfs + Bt₁ и Crd + Spl + + Hu + Crn + Kfs + Bt₁. Тепловым источником для формирования минеральных ассоциаций первого этапа могли быть габброиды саурской серии (C₁), широко распространенные в регионе и присутствующие в непосредственной близости от метапелитов кандыгатайского комплекса (рис. 1). Второй этап – контактовый метаморфизм, проходивший, по-видимому, под тепловым воздействием сиенитов кандыгатайского массива (560°C и 2 кбар), с которым связано появление ассоциации Grt + Bt₂ + Qtz и формирование And₂.

Работа выполнена при финансовой поддержке РФФИ, проект 02-05-65319.

СПИСОК ЛИТЕРАТУРЫ

1. Ермолов П.В., Паталаха Е.И., Ефимов И.А. и др. // Геотектоника. 1984. № 4. С. 61–74.
2. Пономарева А.П., Ермолов П.В., Майорова О.Н. // Тр. ин-та геологии и геофизики. 1985. В. 609. С. 88–95.
3. Chatterjee N.D., Johannes W. // Contribs. Mineral and Petrol. 1974. V. 48. P. 89–114.
4. Holdaway M.J., Mukhopadhyay B. // Amer. Miner. 1993. V. 78. P. 298–315.
5. Ревердатто В.В. Фации kontaktового метаморфизма. М.: Недра, 1970. 272 с.
6. Добрецов Н.Л., Ревердатто В.В., Соболев В.С. и др. Фации метаморфизма. М.: Недра, 1970. 432 с.
7. Кориковский С.П. Фации метаморфизма метапелитов. М.: Наука, 1979. 263 с.
8. Kleemann U., Reinhardt J. // Eur. J. Miner. 1994. V. 6. P. 925–941.
9. Holland T.J.B., Powell R. // J. Metamorph. Geol. 1990. V. 8. P. 89–124.
10. Holland T.J.B., Powell R. // J. Metamorph. Geol. 1998. V. 16. P. 309–343.
11. Ермолов П.В., Изох Э.П., Пономарева А.П. и др. Габбро-гранитные серии западной части Зайсанской складчатой системы. Новосибирск: Наука, 1977. 246 с.
12. Hoffert E., Grant J.A. // Contribs. Mineral. and Petrol. 1980. V. 73. P. 15–22.
13. Seifert F. // Contribs. Mineral. and Petrol. 1976. V. 57. P. 179–185.